

однородности плотности плазмы или скоростей пучка в результате его торможения. Условия возникновения резонансов могут нарушаться также из-за величинных эффектов в движении отдельных частиц, а также нелинейных эффектов, обусловленных коллективными взаимодействиями. Эти и др. способы управления П. в. были теоретически исследованы и экспериментально показаны.

Лит.: Файнберг Я. Б., Взаимодействие пучков заряженных частиц с плазмой, «Атом. энергия», 1961, т. 11, в. 4, с. 313; Веденов А. А., Рютов Д. Д., Квазилинейные эффекты в потоковых неустойчивостях, в сб.: Вопросы теории плазмы, в. 6, М., 1972; Электродинамика плазмы, под ред. А. И. Ахизера, М., 1974; Шапиро В. Д., Шевченко В. И., Взаимодействие волны-частица в неравновесных средах, «Изв. вузов. Радиофизика», 1976, т. 19, в. 5—6, с. 767; Александрин А. Ф., Боданевич Л. С., Рудзин А. А., Основы электродинамики плазмы, 2 изд., М., 1988; Незлин М. В., Электронные пучки в плазме, в кн.: Итоги науки и техники. Сер. Физика плазмы, т. 5, М., 1984. См. также лит. при ст. Плазменная электроника.

Я. Б. Файнберг.

ПФУНДА СЕРИЯ — спектральная серия в спектре атома водорода.

РЧЕТНОСТЬ (пространственная чётность) — характеризует поведение волновой функции при пространственной инверсии (отражении пространственных координат: $r \rightarrow -r$). См. Внутренняя чётность, Чётность. **ПЬЕЗА** (от греч. *piēzō* — давлю) (из, рз) — единица давления и механич. напряжения в МТС системе единиц. 1 из = 1 сН/м² = 10³ Па = 10⁴ дин/см² = единиц. 1 из = 9,87 · 10⁻³ атм = 7,50 мм рт. ст. = 0,0102 кгс/см² = 9,87 · 10⁻³ атм = 7,50 мм рт. ст. **ПЬЕЗОКЕРАМИКА** — поликристаллич. сегнетоэлектрики, обладающие после их поляризации в электрич. поле устойчивыми и хорошо выраженным пьезоэлектрич. свойствами. Способ изготовления П., её механич. свойства и структура аналогичны обычной керамике. По структуре неполяризов. П. представляет собой совокупность зёрен со случайной ориентацией кристаллографич. осей, причём каждый кристаллит имеет сложную доменную структуру, а полная спонтанная поляризация $P = 0$. Зёरна имеют размеры 2—100 мкм. Размеры зёрен влияют на свойства П. (важна П. с мелкими зёрнами).

В процессе поляризации в пост. электрич. поле дипольные моменты доменов всех зёрен ориентируются вдоль поля. После выключения поля эта ориентация сохраняется и керамика приобретает полярную анизотропию, т. е. переводится в класс пироэлектриков с симметрией $C_{\infty h}$ (∞m) (см. Пьезоэлектрики).

Большинство составов П. основано на хим. соединениях с ф-йой ABO_3 (напр., $BaTiO_3$, $PbTiO_3$) с кристаллич. структурой типа первовкита и различных твёрдых растворов на их основе (напр., системы $BaTiO_3$ — $CaTiO_3$; $BaTiO_3$ — $CaTiO_3$ — $CoCO_3$; $NaNbO_3$ — $KNbO_3$). Особенно широко используются в качестве пьезоэлектриков составы системы $PbTiO_3$ — $PbZrO_3$ (т. н. система PZT или ЦТС). Практич. интерес представляет также ряд соединений с ф-йой AB_2O_6 , напр. $PbNb_2O_6$, имеющих весьма высокую темп-ру (570 °C), что позволяет работать при высоких темп-рах. П. является наиб. широко применяемым пьезоэлектрич. материалом.

Лит.: Физическая акустика, под ред. У. Мэзона, пер. с англ., т. 1, ч. А, М., 1966; Глоzman И. А., Пьезокерамика, 2 изд., М., 1972; Яффе Б., Кук У., Яффе Г., Пьезоэлектрическая керамика, пер. с англ., М., 1974; Окада Заки К., Технология керамических диэлектриков, пер. с япон., М., 1976.

Р. Е. Пасынков.

ПЬЕЗОМАГНЕТИЗМ (пьезомагнитный эффект) — возникновение в веществе спонтанного магнитного момента при наложении упругих напряжений. П. может существовать только в антиферромагнетиках и ферромагнетиках и принципиально невозможен в парамагнетиках.

Термодинамич. рассмотрение вопроса о П. основывается на выделении и изучении в разложении термодинамического потенциала Φ членов, линейных по магн. полю H_i и по одной из компонент тензора упругих напряжений σ_{ij} :

$$\Phi = \Phi_0 - \sum_{ijk} \Lambda_{ijk} H_i \sigma_{jk} \quad (*)$$

Если все преобразования магн. симметрии данного кристалла оставляют инвариантным хотя бы один член в этом выражении, то соответствующий коэф. Λ_{ijk} (модуль П.) будет отличен от нуля и в кристалле будет возникать пьезомагн. момент $m_i = -\partial \Phi / \partial H_i = -\Lambda_{ijk} \sigma_{jk}$, зависящий от приложенного напряжения σ_{jk} . Эта идея впервые была высказана В. Фойтом [1]. Однако он ошибочно считал, что достаточно учитывать только кристаллографич. симметрию.

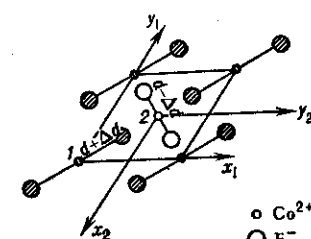
Пара- или диамагнитный кристалл не может быть пьезомагнетиком, поскольку в группу магн. симметрии такого кристалла самостоятельно входит элемент инверсии времени R , к-рый изменяет знаки магн. полей и моментов на обратные (см. Магнитная симметрия). Поэтому для пара- и диамагнетиков все компоненты пьезомагн. тензора Λ_{ijk} тождественно равны нулю. В веществах, обладающих упорядоченной магн. структурой (в ферромагнетиках и антиферромагнетиках), R встречается только в комбинациях с др. элементами симметрии. Поэтому в принципе такие вещества могут быть пьезомагнетиками [2]. Симметрийный анализ позволил установить все классы магн. симметрии, к-рые допускают П. Их оказалось 66, и для всех найден вид тензоров Λ_{ijk} . Благодаря симметрии тензора σ_{jk} пьезомагн. тензоры могут быть представлены в виде матриц 3×6 , и число таких матриц равно 16 [3].

Пьезомагн. момент сравнительно мал. Поэтому практически наблюдать его можно только в антиферромагнетиках, к-рые в нормальных условиях не обладают спонтанным магн. моментом. Теоретич. исследование магн. симметрии известных антиферромагнетиков позволило И. Е. Дзялошинскому [4] (ещё до того, как были найдены все магн. классы, допускающие П.) найти среди них ряд веществ (Fe_2O_3 , $FeCO_3$, MnF_2 , CoF_2 , FeF_2), в к-рых должен наблюдаваться П.

П. в антиферромагнетиках тесно связан с явлением слабого ферромагнетизма. Так же, как и магн. момент слабых ферромагнетиков, пьезомагн. момент может быть направлен перпендикулярно к направлению спонтанной намагниченности магнитных подрешёток или параллельно ему. В первом случае возникает скос векторов подрешёток, приводящий к возникновению пьезомагн. момента. Продольный П. связан с изменением намагниченности подрешёток.

Экспериментально П. обнаружен в 1959 в антиферромагн. кристаллах MnF_2 и CoF_2 [5]. В этих кристаллах в соответствии с соображениями симметрии отличны от нуля только три компоненты пьезомагн. тензора: $\Lambda_{xyz} = \Lambda_{yzz}$ и Λ_{zxy} . Для CoF_2 пьезомагн. модули при темп-ре 20,4 K имеют следующие значения: $\Lambda_{xyz} = 2 \cdot 10^{-3}$ Гс · см²/кГ и $\Lambda_{zxy} = 0,8 \cdot 10^{-3}$ Гс · см²/кГ. На примере антиферромагн. фторидов легко понять микроскопич. природу продольного пьезомагн. эффекта.

Рис. 1. Схематическое изображение деформированной элементарной ячейки (d — период ячейки) антиферромагнитных фторидов переходных металлов (CoF_2). Ось z перпендикулярна плоскости чертежа. Ионы, обозначенные защищёнными кружками, сдвинуты на половину периода кристаллической решётки вдоль оси z относительно незашитых ковалентных.



На рис. 1 показана схема расположения ионов в деформированной тетрагональной решётке, когда кристаллографически эквивалентные узлы 1 и 2 после сдвиговой деформации в плоскости xy перестают быть эквивалентными. При этом расстояние d до ближайших ионов фтора для магн. ионов в подрешётке 1 увеличивается, а для ионов в подрешётке 2 — уменьшается.